УДК 532.5 MSC2020 35Q79 + 76D07

© Е. П. Дац 1,2 , А. П. Кудряшов 1 , В. М. Чудновский 1

Влияние теплофизических характеристик жидкой фазы на динамику парового пузырька в процессе лазерной кавитации

В работе представлены результаты численного моделирования процесса лазерной кавитации в двухфазной среде жидкость — пар. Полученные результаты позволяют оценить влияние вязкости и степени недогрева жидкости на лазерную кавитацию, что имеет большое практическое значение.

Ключевые слова: лазеры, теплопроводность, кавитация, численное моделирование.

DOI: https://doi.org/10.47910/FEMJ202503

Введение

Лазерная кавитация или лазероиндуцированная кавитация возникает при вскипании жидкости с недогревом [1], вызванном либо действием сфокусированного лазерного излучения, либо излучением, выходящим из торца кончика оптоволокна, погружённого в жидкость, в которой излучение поглощается. При кипении с недогревом возникает паровой пузырёк, который сначала растет, а затем по причине контакта с окружающей «холодной» жидкостью в какой-то момент прекращает свой рост и схлопывается с ускорением (коллапс). Такая динамика — рост и последующее схлопывание пузырька — является причиной, по которой пузырёк является кавитационным. Хорошо известно, что кавитационные пузырьки вблизи различных границ генерируют, помимо акустических сигналов и ударных волн, кумулятивные струи [1,2]. В совокупности эти явления представляют большой практический интерес для селективной очистки и обработки поверхностей, а также в медицине. Использование оптоволокна удобно для доставки лазерного излучения к различным объектам, поскольку оптоволокно обладает большой гибкостью и способно проникать в узкие каналы, щели и иглы для перкутанного (проникающего через кожу) воздействия.

¹ Институт прикладной математики ДВО РАН, 690041, г. Владивосток, ул. Радио, 7.

² Владивостокский государственный университет, 690014, г. Владивосток, ул. Гоголя, 41. Электронная почта: datsep@gmail.com (Е.П. Дац), alkud1981@mail.ru (А.П. Кудряшов), vm53@mail.com (В.М. Чудновский).

Представленное исследование посвящено проблеме моделирования процесса лазерной кавитации с учетом влияния вязких свойств жидкости и начальной температуры жидкой фазы.

1. Математическая модель

Численное моделирование реализовано с использованием двухфазной модели гидродинамики Volume-Of-Fluid [3]. В качестве двух фаз используется вода и водяной пар. Для каждой фазы записан закон сохранения массы

$$\frac{\partial \alpha_{\rm g} \rho_{\rm g}}{\partial t} + \nabla \cdot (\alpha_{\rm g} \rho_{\rm g} \overrightarrow{v}) = \dot{m}_{\rm g}, \qquad \frac{\partial \alpha_{l} \rho_{l}}{\partial t} + \nabla \cdot (\alpha_{l} \rho_{l} \overrightarrow{v}) = \dot{m}_{l},$$

где индексы g и l означают паровую и жидкую фазы, $\alpha_{\rm g}$ и α_l — объемные доли паровой и жидкой фазы соответственно, $\alpha_{\rm g}+\alpha_l=1$. Для паровой фазы выполняется уравнение состояния идеального газа

$$\rho_{\rm g} = \frac{pM}{RT},$$

где p — давление, M — молярная масса пара, R — универсальная газовая постоянная, T — температура. Для жидкой фазы плотность принимается постоянной: $\rho_l = const$. В модели используются уравнения Навье – Стокса и уравнение энергии, записанные для смешанной фазы в дивергентной форме

$$\frac{\partial(\rho\overrightarrow{v})}{\partial t} + \nabla \cdot (\rho\overrightarrow{v} \otimes \overrightarrow{v}) = -\nabla p + \nabla \cdot \left[\mu \left(\nabla \overrightarrow{v} + \nabla \overrightarrow{v}^T \right) - \mu \frac{2}{3} (\nabla \cdot \overrightarrow{v}) I \right],$$

$$\frac{\partial(\rho c_p T)}{\partial t} + \nabla \cdot (\overrightarrow{v} \rho c_p T) = \nabla (\lambda \nabla T) + S_h,$$

где S_h — скрытая теплота парообразования-конденсации, I — единичная матрица. Плотность ρ , теплопроводность λ , динамическая вязкость μ и удельная теплоем-кость c_p в рамках используемого метода представлены зависимостями

$$\rho = \alpha_{\rm g} \rho_{\rm g} + \alpha_l \rho_l, \quad \lambda = \alpha_{\rm g} \lambda_{\rm g} + \alpha_l \lambda_l, \quad \mu = \alpha_{\rm g} \mu_{\rm g} + \alpha_l \mu_l, \quad c_p = \alpha_{\rm g} c_{p \rm g} + \alpha_l c_{p l}.$$

При описании механизма образования пара используется модель испарения — конденсации [4,5], в которой скорости парообразования и конденсации пропорциональны разнице между текущей температурой и температурой насыщения T_{sat} :

$$\begin{split} \dot{m}_{\rm g} &= \gamma_{\rm g} \alpha_l \rho_l \left(\frac{T - T_{sat}(p)}{T_{sat}(p)} \right), \qquad T > T_{sat}(p), \\ \dot{m}_l &= \gamma_l \alpha_{\rm g} \rho_{\rm g} \left(\frac{T_{sat}(p) - T}{T_{sat}(p)} \right), \ qquadT < T_{sat}(p), \end{split}$$

где $\gamma_{\rm g}/\gamma_l$ — коэффициенты испарения/конденсации, которые определяются из экспериментальных данных. Температура насыщения T_{sat} зависит от давления [6]. Построение функции $T_{sat}(p)$ осуществляется при помощи кусочно-линейной аппроксимации. Учет данной зависимости позволяет качественно и количественно описать динамику движения межфазной границы в соответствии с полученными ранее экспериментальными данными [1].

2. Постановка задачи

Задача решена в цилиндрической системе координат в осесимметричной постановке. Ось симметрии расчетной области совпадает с осью симметрии волновода и начального пузырька. В начальный момент времени t=0 на торце оптоволокна задан паровой пузырек радуисом $r_0=150~\mu\mathrm{m}$, ось симетрии которого совпадает с осью симметрии оптоволокна. Начальная скорость дфухфазной среды равна нулю: $\overrightarrow{v}=0$. Внутри пузырька задана начальная температура $T_0=450~\mathrm{K}$, снаружи пузырька задана температура $T_0=300~\mathrm{K}$. Оценка начального распределения температуры в паровой фазе сделана исходя из зависимости температуры насыщения от давления насыщения [6]. Начальное давление внутри пузырька определяется через решение уравнение Рэлея – Плессета [7] при подстановке значений радиуса, скорости и ускорения межфазной границы, определяемых из эксперимента [1]. Давление вне пузырька в начальный момент равно атмосферному.

Для коэффициентов массообмена в модели Ли [4,5] выбраны значения, найденные по результатам эксперимента: $\gamma_{\rm g} = 5 \cdot 10^4~{\rm c}^{-1}$ и $\gamma_l = 5 \cdot 10^5~{\rm c}^{-1}$. Расчет проведен в среде ANSYS FLUENT 2021 с использованием равномерной квадратной сетки с размером элемента 5 μ м.

Граничные условия имеют вид: на оси симметрии $\overrightarrow{n} \cdot \nabla p = 0$, $\overrightarrow{n} \cdot \nabla T = 0$; на поверхности оптоволокна $\overrightarrow{v} = 0$, $\overrightarrow{n} \cdot \nabla T = 0$; на остальных границах: $\overrightarrow{n} \cdot \nabla T = 0$, $p = 10^5$ Па.

3. Результаты расчетов

На рис. 1 представлен численный результат расчета появления паровой фазы в различные моменты времени. Однократный акт кавитации состоит из нескольких стадий: фрагменты (1–3) изображают стадию роста, где на фрагменте (3) показан максимальный размер пузырька. Далее наступает стадия схлопывания (4–5), вызванная падением давления внутри пузырька и началом процесса конденсации. Затем наступает стадия повторного роста (6), после которой пузырек может еще некоторое время повторять циклы роста/схлопывания при постепенном уменьшении максимального размера.

На рис. 2 показано изменение объема парового пузырька в зависимости от времени для различных значений коэффициента вязкости воды. Из расчета следует, что при увеличении коэффициента вязкости уменьшается максимальный радиус пузырька, а при уменьшении вязкости он увеличивается (график-врезка на рис. 2). При уменьшении коэффициента вязкости объем пузырька стремится к некоторму предельному значению, обусловленному силами инерции и скоростью парообразования. При многократном увеличении коэффициента вязкости объем пузырька уменьшается пропорционально увеличению вязкости. В диапазоне температур от 20 К до 100 К, наблюдаемых в эксперименте, коэффициент вязкости может уменьшаться в 10 раз, приводя к увеличению объема пузырька примерно на 10%, а радиуса соответственно на 3%, что с точки зрения динамики формирования струи можно считать несущественным. Интересным является тот факт, что время роста пузырька при различных значениях вязкости жидкой среды примерно одинаковое.

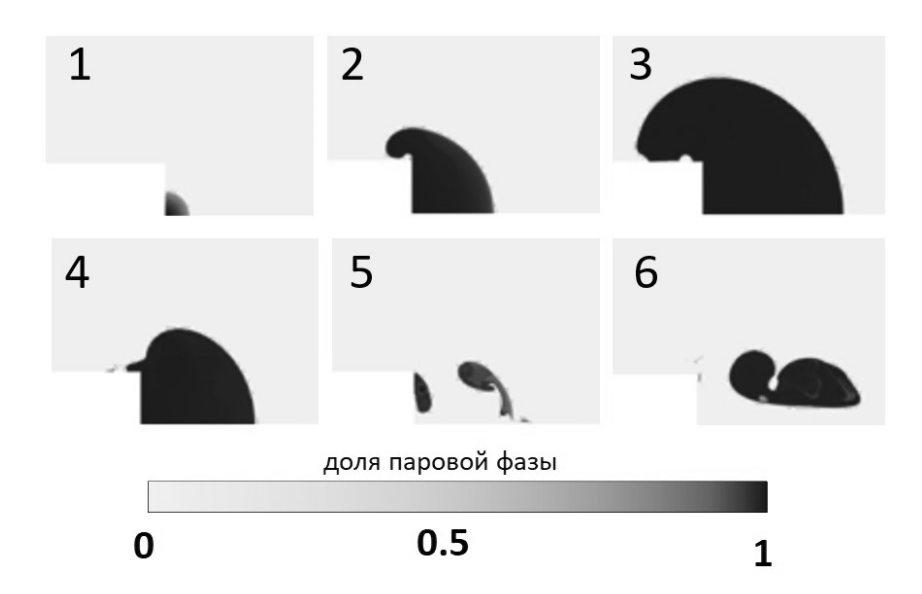


Рис. 1. Распределение паровой фазы в различные моменты времени, $T_0=300~{
m K},$ $\mu=0.001~{
m Ha\cdot c}.$

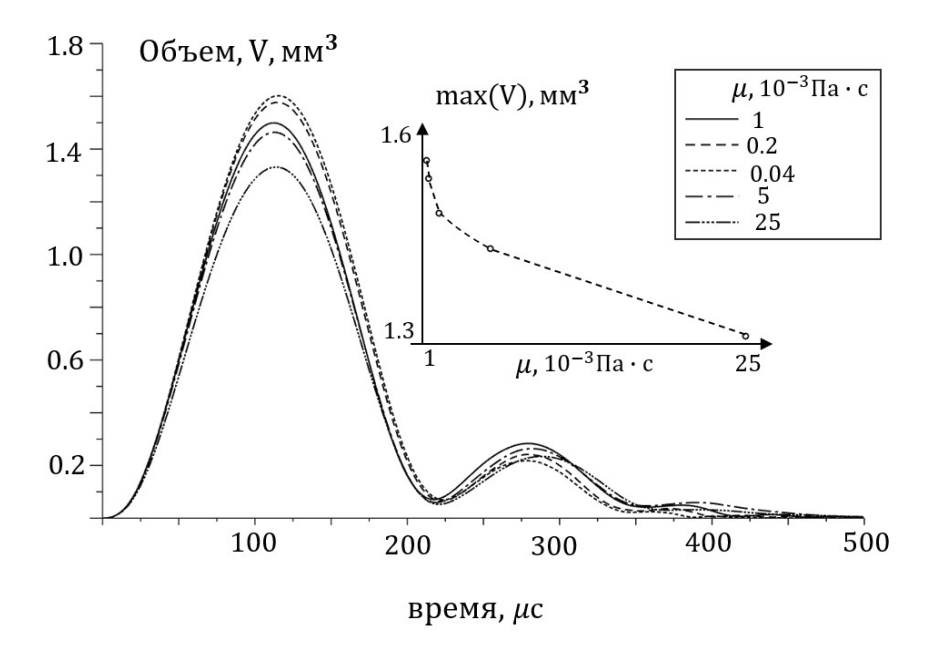


Рис. 2. Изменение объема паровой фазы в процессе лазерной кавитации в зависимости от времени.

На рис. 3 представлены распределения максимальной скорости вдоль оси симметрии в различные моменты времени. Данная скорость соответствует скорости на переднем фронте межфазной границы и последующем ее переходе в передний фронт кумулятивной струи. На графике видно, что для коэффициентов вязкости $\mu = 0.04 \cdot 10^{-3} - 5 \cdot 10^{-3}$ Па \cdot с формирующаяся кумулятивная струя имеет значение скорости порядка 15 м/c, а в случае сверхвязкой жидкой фазы при $\mu = 25 \cdot 10^{-3}$ Па \cdot с скорость струи падает примерно в 2 раза.

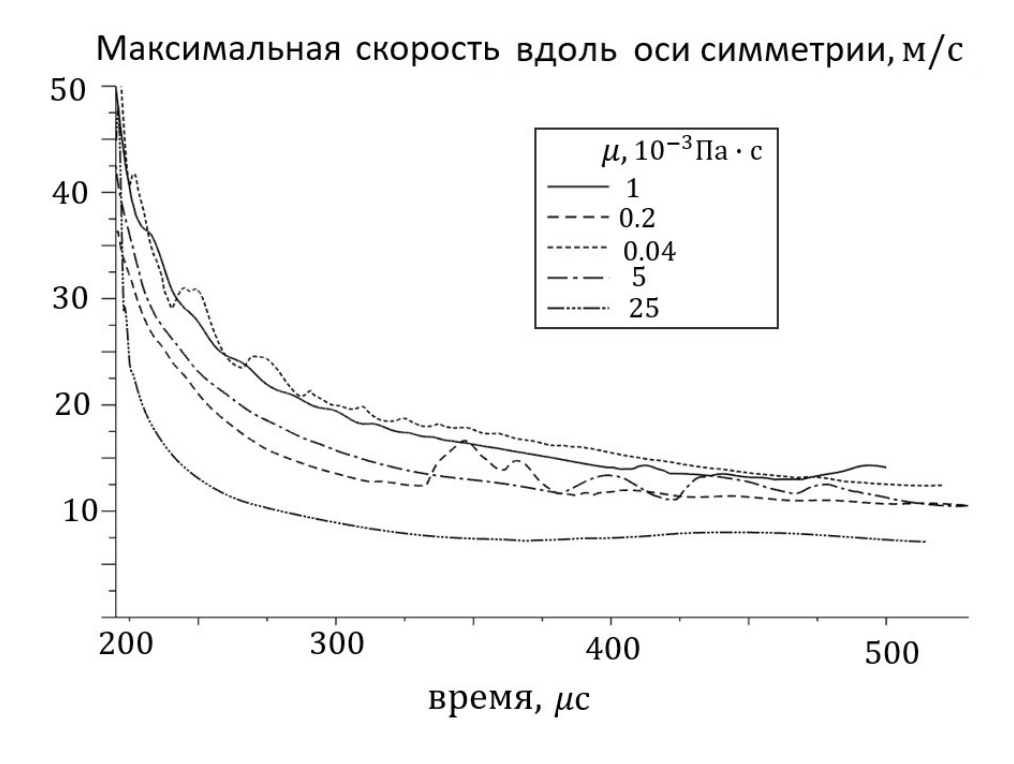


Рис. 3. Максимальная скорость вдоль оси симметрии в зависимости от времени.

На рис. 4 представлено температурное поле кумулятивной струи при различных значениях вязкости. Вычисленные средние значения температуры струи для различных значений вязкости совпадают и составляют порядка 330 K при начальной температуре жидкой фазы $T_0 = 300~\mathrm{K}$.

Далее было рассмотрено влияние начальной температуры жидкой среды на динамику парообразования и формирование скорости и температуры внутри кумулятивных струй. Расчеты проводились для коэффициента вязкости $\mu=0.001~\mathrm{Ha}\cdot\mathrm{c}$. Предполагалось, что максимальное значение температуры перегрева одинаково и составляет 450 К. На рис. 5 показано изменение объема парового пузырька при различных начальных значениях температуры жидкости T_0 . Из расчетов следует, что увеличение T_0 приводит к росту максимального радиуса парового пузырька. Это связано с тем, что при увеличении начальной температуры жидкой фазы уменьша-

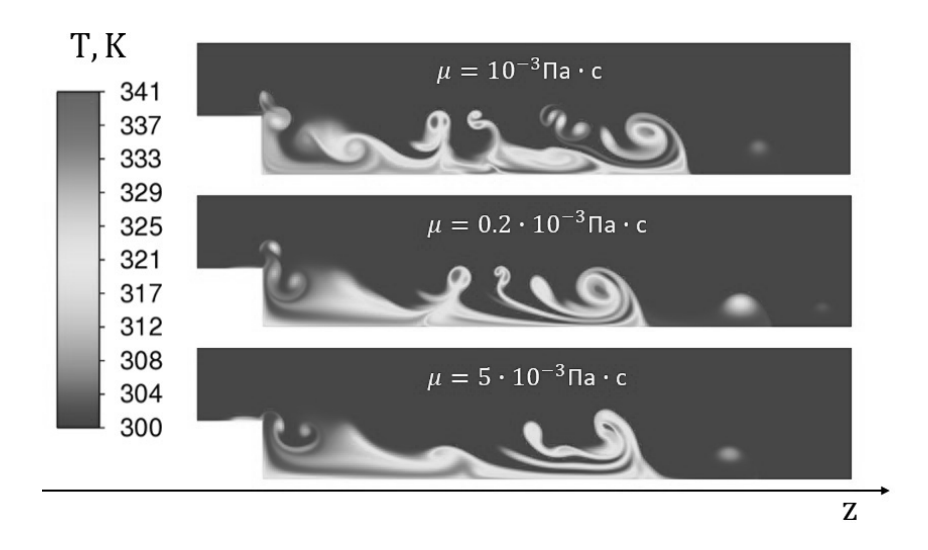


Рис. 4. Температура кумулятивной струи в момент времени $t=500~\mu {\rm c}$ при различных значениях коэффициента вязкости. $T_0=300~{\rm K}.$

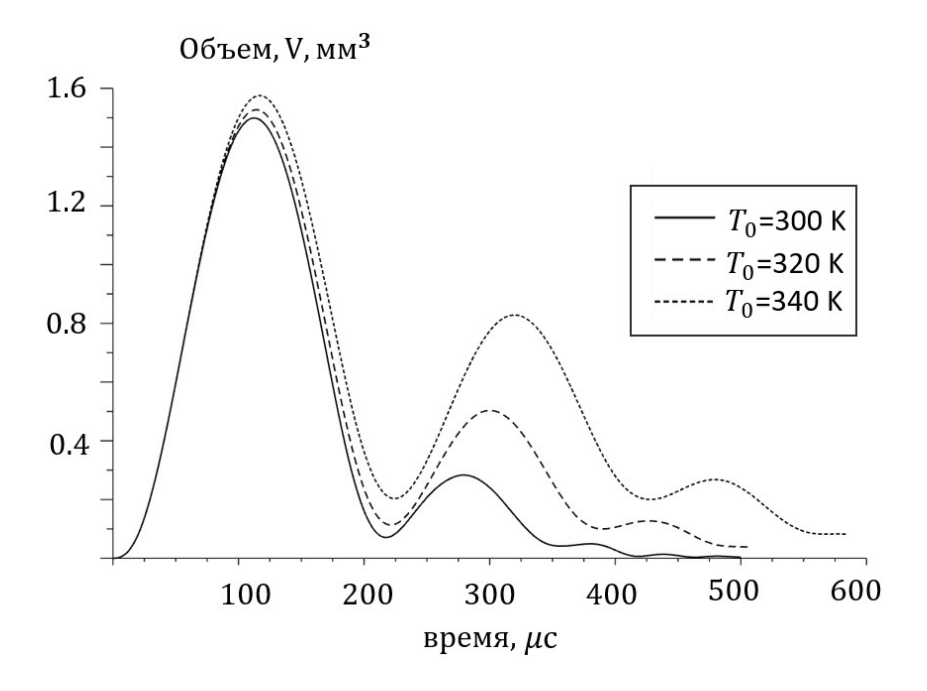


Рис. 5. Изменение объема паровой фазы в процессе лазерной кавитации при различной начальной температуре T_0 жидкой фазы.

ются теплопотери на межфазной границе, что приводит увеличению времени парообразования и уменьшению скорости конденсации. Данный факт существенным образом влияет на формирование паровой фазы в процессе повторного вскипания: при $T_0 = 340$ вторичный паровой пузырек достигает в объеме 50% от объема первого пузырька. Отметим также очевидный факт, что в случае замедления процесса конденсации паровая фаза, имеющая более высокую температуру (близкую к температуре кипения), может существовать внутри кумулятивной струи достаточно долгое время и являться негативным фактором в условиях непрерывного действия лазерного источника.

На рис. 6 представлены результаты расчетов максимальной температуры на оси симметрии в различные моменты времени для различных начальных значений температуры T_0 жидкой фазы. Первое уменьшение температуры с 450 K до 355 K происходит на стадии роста пузырька и наблюдается во времени плоть до 120 μ c. Дальнейшее увеличение температуры на интервале от 120 μ c до 200 μ c соответствует стадии схлопывания пузырька. Резкое повторное падение температуры соответствует моменту пробивания поверхности пузырька на оси симметрии потоками жидкой среды. С этого момента вдоль оси симметрии рассчитывается максимальная температура жидкости. Температура кумулятивной струи вдоль оси симметрии в рассматриваемых случаях увеличивается на 25 K.



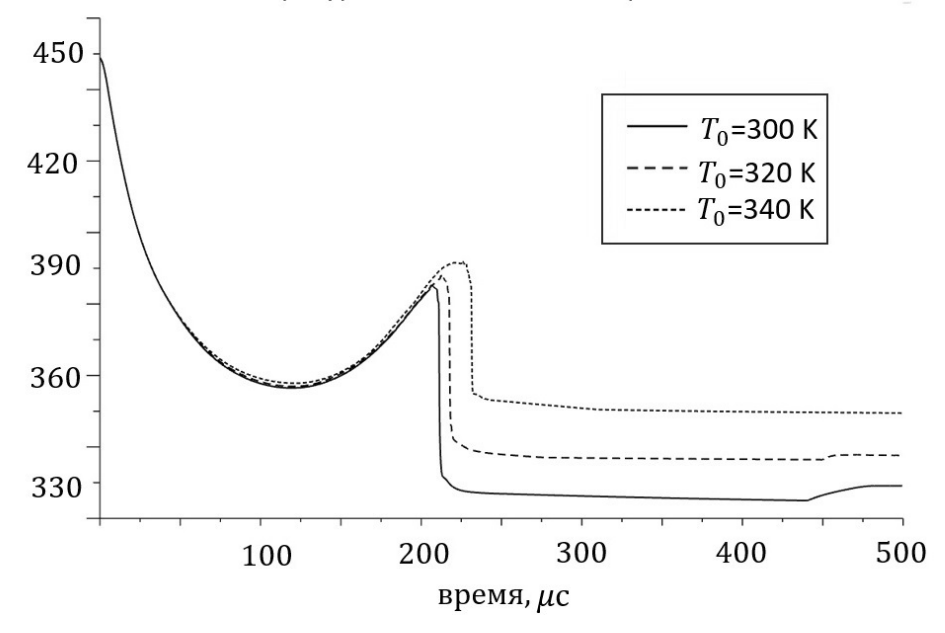


Рис. 6. Изменение максимальной температуры вдоль оси симметрии с течением времени при различной начальной температуре T_0 жидкой фазы.

Значения скорости на оси симметрии для рассматриваемых случаев примерно одинаковые и находятся в диапазоне значений $15-20~\mathrm{m/c}$.

Заключение

Представленные результаты численного моделирования показывают, что динамика образования парового пузырька и формирующаяся кумулятивная струя слабо зависят от изменения параметра вязкости жидкой фазы на временном интервале вплоть до 500 μ c и данным влиянием можно пренебречь при моделировании многократных актов вскипания, имитирующих процесс длительного лазерного нагрева. В то же время следует учитывать влияние постепенного нагрева жидкой среды на процесс кавитации. Показано, что увеличение температуры воды на 20–40 К существенно не влияет на динамику струи, но может приводить к длительному существованию паровой фазы вследствие вторичных эффектов вскипания и должно учитываться при моделировании, а также использовании непрерывного лазерного нагрева в прикладных задачах.

Список литературы

- [1] Кулик А. В., Мокрин С. Н., Краевский А. М., Минаев С. С., "Features of dynamics of a jet flow generated on a laser heater by surface boiling of liquid", *Technical Physics Letters*, 2022.
- [2] Чудновский В. М., Юсупов В. И., "Submerged jet generation by laser heating of a liquid surface", Technical Physics Letters, 2020.
- [3] Koch M., J., Lechner C., Reuter F., "Numerical modeling of laser generated cavitation bubbles with the finite volume and volume of fluid method, using OpenFOAM", Computers and Fluids, 2016.
- [4] Lee W. H., "A pressure iteration scheme for two-phase modeling", Technical Report LA-UR 79-975, Los Alamos Scientific Laboratory, Los Alamos, New Mexico, 1979.
- [5] Zhang Yu., Li G., G Zhang, Ding S., "Development and modified implementation of Lee model for condensation simulation", Applied Thermal Engineering, 2023.
- [6] Wagner W., PruB A., "The IAPWS formulation 1995 for the thermodynamic properties of ordinary water substance for general and scientific use", J. Phys. Chem. Ref. Data, 2002.
- [7] Plesset M., Prosperetti A., "Bubble Dynamics and Cavitation", Annual Review of Fluid Mechanics, 1977.

Поступила в редакцию 16 мая 2025 г.

Работа выполнена при финансовой поддержке Российского научного фонда (проект № 22-19-00189- Π).

Dats E. P.^{1,2}, Kudryashov A. P.¹, Chudnovskii V. M.¹ The influence of the thermophysical characteristics of the liquid phase on the dynamics of the vapor bubble in the process of laser cavitation. Far Eastern Mathematical Journal. 2025. V. 25. No 1. P. 39–47.

 1 Institute of Applied Mathematics, Far Eastern Branch, Russian Academy of Sciences 2 Vladivostok State University, Vladivostok

ABSTRACT

The paper presents the results of numerical modeling of the laser cavitation process in a two — phase liquid — vapor medium. The obtained results allow us to evaluate the influence of viscosity and degree of liquid underheating on laser cavitation, which is of great practical importance.

Key words: lasers, heat conduction, cavitation, numerical simulation.